

## رد پای توپولوژی در کارخانه\*

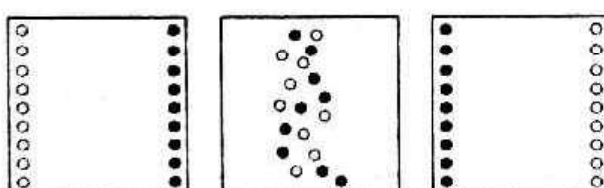
آرین آبرامز<sup>\*</sup>، روبرت گریست<sup>\*\*</sup>

ترجمه حسن حقیقی

این گفته بدان معنی نیست که برنامه‌ریزی حالت‌های هماهنگ، کار ساده‌ای است، بلکه به عنوان مثال، تلاش فوق العاده‌ای لازم است تا بتوان رفت و آمد‌های هوایی را در فرودگاههای شلوغ هماهنگ کرد. در برنامه‌ریزی برای این کار باید از تصادم، به هر قیمتی که شده، جلوگیری کرد. در شکل ۱، مثالی نابدیهی از این موضوع در صفحه اراوه شده است: مسأله این است که چگونه می‌توان حرکت این روباتها را هماهنگ کرد به‌طوری که در حین تعویض جای دو ردیف از آنها تصادمی روی ندهد.

یکی از روش‌هایی که در روبات‌شناسی برای حل مسائل هماهنگ‌سازی بکار می‌رود روش اساساً توپولوژیک است. به تسامح می‌توان گفت در این روش فضای تمام آرایشهای ممکن از روباتها را می‌سازند و سپس همه آرایشهای را که نشان‌دهنده موقعیت تصادم و یا موقعیت تزدیک صدام هستند حذف می‌کنند. آنچه باقی می‌ماند، فضایی است که تمام پیکربندیهای این روباتها را در بر می‌گیرد. مسیرهای این فضا مسیر حرکتهاي این هستند.

۲. فضای پیکربندی. در ابتداء مثالی صوری ارائه می‌کنیم، که یک شیء توپولوژیک کلابیک، به نام فضای پیکربندی  $N$  نقطه متأثیر بر جسب‌گذاری شده از صفحه<sup>۱</sup> است. یعنی تمام  $N$  تاییهای مرتب از نقاط<sup>۲</sup> با این خاصیت که هیچ دو نقطه‌ای برهم منطبق نباشد. به هر  $N$  تایی با این ویژگی، نقطه‌ای را از فضای پیکربندی نسبت می‌دهیم. دو نقطه در فضای پیکربندی تزدیک یکدیگرند اگر فاصله  $N$  تاییها در فضای اقیدسی<sup>۳</sup> کم باشد.



شکل ۱ هماهنگ کردن انتقال این و بهینه روباتها در تعویض جای دو ردیف از آنها یک مسأله نابدیهی برنامه‌ریزی است.

اگر بخواهیم برای یافتن نمونه‌هایی از اشیای توپولوژیک، چالب در جهان پیامون جستجو کنیم شاید به نظر نرسد که محلی استثنایی برای این کار، داخل محوطه یک انبار خودکار<sup>۱</sup> یا کارخانه است.

در این نوشته ردیف از فضاهای توپولوژیک را که به‌طور طبیعی از چنین محیطی برگرفته می‌شوند شرح می‌دهیم. مثالهایی که می‌آوریم به‌طور همزمان از دو حوزه به ظاهر مقاومت برخاسته‌اند. نویسنده اول این مقاله، در تحقیق برای تهیه پایان‌نامه خود [۱]، پس از همکاری با یوهرشاپ و زاسلو [۲]، اج لاندانو و زد لاندانو در مسائلی درباره قدم زدن تصادفی روی گرافها، این فضاهای را کشف کرد. نویسنده دوم، همین فضاهای را، با همکاری کوکیت‌شک در آزمایشگاه هوش مصنوعی دانشگاه میتیگان ([۷]، [۸]) کشف کرد.

در بخش‌های ۱ و ۲، علاوه بر بحث مختصر و مقدماتی درباره فضاهای پیکربندی، به طرح مسائلی درباره روباتها می‌پردازیم تا زمینه بحث فراهم شود. در بقیه مقاله توجه خود را به رده جالبی از فضاهای توپولوژیک، که مرتبط با برنامه‌ریزی حرکت روی گرافها هستند، معطوف می‌کنیم.

۱. روباتها، و برنامه‌ریزی حرکت به صورت توپولوژیک. یک کارخانه خودکار را در نظر بگیرید که مجهز به تعدادی خودرو بهادست خودکار<sup>۲</sup> (AGV) باشد. روبات متحرک است که محصولاتی را از جایی به جایی دیگر منتقل می‌کند. معمولاً هدف این است که تعدادی از این روباتها، مثلاً  $N$  تا آنها را همزمان به حرکت در آوریم و مطابق با الگوریتمی کنترل کنیم که روباتها طبق آن از میادی به مقصدهای مورد نظر بروند (در کاربردهای ابزارداری) یا یک فرایند چرخه‌ای را اجرا کنند (در کاربردهای تولید صنعتی). این روباتها گران قیمت هستند و در تصادم (با موارع یا یکدیگر) کاری خود را از دست می‌دهند. هر کس که از یک فروشگاه بزرگ موارد غذایی، که راهروهای پهنه بین فضه‌ها دارد، خرید کرده باشد با این مسأله و راه حل آن آشناست. اگر دو چرخ به سمت یکدیگر در حرکت باشند به هنگام روبرویی کمی تغییر جهت کافی است تا از برخورد اجتناب شود، با این فرض که چرخ دیگر در همان جهت تغییر مسیر ندهد. پرهیز از برخورد در  $\mathbb{R}^2$  کاری موضعی است.

1. automated warehouse    2. Automated Guided Vehicles

۳. گراف. روبات‌شاسان، تا حد زیادی مستقل از تولوزیدانها، موقتیت بزرگی در شناسایی فضاهای پیکربندی و کار با آنها در جهت مقاصد خودشان در مسائل کنترل به دست آورده‌اند. اما رده‌ای از ساختارهای ساده فیزیکی مناسب وجود دارد که هنوز فضاهای پیکربندی آنها مورد استفاده قرار نگرفته‌اند. فضاهای پیکربندی روی گراف، یا روی شبکه‌ای از یالها و رأسها از جمله این فضاهای هستند.

فرض کنیم روباتها باید روی ریلهایی که در گفت‌کارخانه نصب شده‌اند و یا از طریق مسیرهایی که با سیمهای برق دار آویخته از سقف مشخص شده‌اند حرکت کنند. برای مثال مرجع [۶] را ببینید. شبکه‌هایی با این محدودیت کاملاً رایج‌اند. علم اصلی آن این است که کم‌هزینه‌تر از یک سیستم راهبری AGV، با درجه آزادی کامل هستند. در این شرایط، حالت سبستم در هر لحظه از زمان یک نقطه از فضای پیکربندی گراف،  $\Gamma$ ، یعنی نقطه‌ای از فضای

$$C^N(\Gamma) := (\Gamma \times \cdots \times \Gamma) - \Delta$$

است. در اینجا نیز همانند مسئله قبل برای اینکه بتوان با این‌تی روی گراف حرکت کرد، باید مسیرهایی مناسب ساخت که اکیداً درون  $C^N(\Gamma)$  باشند و از هر نقطه تزدیک  $\Delta$  دور باشند. اما مشکلاتی در اینجا هست که شاید مانع از بهکارگیری راه حلی مشابه راه حل مسئله قبل شود. از جمله، مشکلاتی که با سوالات زیر رخ می‌نمایند.

۱. این فضاهای به چه چیزی شبیه‌اند؟

۲. چگونه می‌توان یک تصادم قریب‌الواقع را برطرف کرد؟ اولین تفاوت بین این مسئله و مسئله  $C^N(\Gamma)$  این است که  $C^N(\Gamma)$  خمینه نیست، یعنی توان انتظار داشت که هر نقطه دارای یک همسایگی باشد که با یک فضای اقلیدسی همسازی‌یخت باشد. در واقع اگر گرافهای بدیهی را که با پاره خط یا دایره همسازی‌یخت هستند نادیده بگیریم، آنگاه گراف موضعی اقلیدسی نیست و حاصل‌ضریب‌های آن نیز چنین نیستند. تفاوت دوم این است که تصادم در درون هر یال دیگر به طور موضعی قابل اختبان نیست. فرض کنید بهنای راهروهای بین فضهای یک فروشگاه مواد غذایی فقط به اندازه پهنای یک چرخ خرید است، و در نتیجه عبور فرد دیگر از آن غیرممکن است. در یک چنین فروشگاهی پر از خریداری (که مشتریاتش از چرخهای خرید استفاده می‌کنند)، مسئله کنترل هماهنگ دشوار است. چگونه چرخنا می‌توانند از تصادم در درون یک راهرو پرهیز کنند؟ روش این است که لااقل یکی از افراد در گیر باید تغییری در مقیاس بزرگ در مسیر حرکت بدهد و به انتهای راهرو برود. پویی از تصادم در گراف کاری غیرموضعی است. در ادامه این مقاله، درباره ویژگی‌های تولوزیک این فضاهای جالب بحث می‌کنیم. برای ملاحظه کاربردهای عمیق تر فضاهای پیکربندی در مسائل برنامه‌ریزی حرکت، مرجع [۱۲] و مراجع ذکر شده در آن را ببینید.

۴. مثالهایی شامل دو روبات، چون گراف شیئی یک بعدی است، فضای پیکربندی  $C^N(\Gamma)$  بعدی است. بنابراین فضاهای پیکربندی دو روبات، اشیائی دو بعدی هستند، که باید بتوان آنها را در ذهن مجسم کرد (حداقل در حالنهای ساده). در زیر سه مثال می‌آوریم.

به طور صوری فضای پیکربندی عبارت است از

$$C^N(\mathbb{R}^r) := (\mathbb{R}^r \times \mathbb{R}^r \times \cdots \times \mathbb{R}^r) - \Delta$$

که  $\Delta$  نشان‌دهنده مجموعه دو بعدی قطعی (که به اختصار آن را قطر می‌نامیم)، یعنی

$$\{(x_1, x_2, \dots, x_N) \in (\mathbb{R}^r)^N : x_i = x_j, i \neq j\}$$

است.

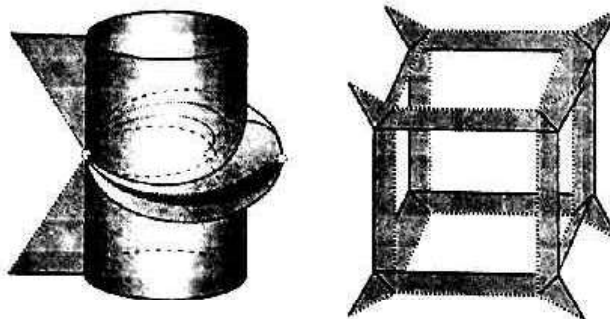
تجسم این فضای پیکربندی، حتی تجسم قسمت کوچکی از آن، آسان تبیت ویرا بهم فضای  $\mathbb{R}^{2N}$  است.

تعزین، نشان دهد  $C^N(\mathbb{R}^r)$  با  $(0, 0)$  یا با معادل آن  $S^1 \times \mathbb{R}^r$ ، که  $S^1$  نشان‌دهنده دایره یکه در  $\mathbb{R}^2$  است، همسازی‌یخت است. راهنمایی: هر نقطه را همچون سکمای در نظر بگیرید و به نحوه یکی‌یکی فرار دادن سکه‌ها روی میز فکر کنید. آیا روش اثبات شما نمایشی ساده برای  $C^N(\mathbb{R}^r)$  به دست می‌دهد؟

به این ترتیب با مدل قرار دادن  $\mathbb{R}^r$  برای کف کارخانه و نقاط روی  $\mathbb{R}^r$  برای روباتها متوجه می‌خواهیم مسیرها یا چرخه‌هایی را در  $C^N(\mathbb{R}^r)$  باییم که رفتارهای معین را تماش دهند. موانع را به آسنی می‌توان در این مدلها انجاند. آثار مکتوب زیادی درباره این موضوع وجود دارد [۱۲]. نمایش حرکتهای چرخه‌ای پیچیده‌تر است اما در ابتدا می‌توان آنها را با ترکیب حرکتهای نقطه به نقطه تقریب زد. لازم است چندین فرض برای چنین ضریب ساده‌ای که از آن می‌دهیم در نظر گرفته شود و به طور کلی جنبه‌های متفاوت سینماتیک (مثل آندره راهبری<sup>۱</sup>) باید مورد توجه قرار گیرند. البته چون روباتها واقعاً نقطه نیستند و چون بهکارگیری الگوریتمهای کنترلی با دقت بیشتر ممکن نیست فقط لازم است که مسیر طرح شده در خارج یک همسایگی قطر  $\Delta$  در  $(\mathbb{R}^N)$  قرار گیرد.

با استفاده از فضاهای پیکربندی، ارائه طرحهای کنترلی این امکان‌پذیر می‌شود. در کارکردیت شک و ریمن [۱۱] نمونه‌ای از یک راه حل مشخص دیده می‌شود. آنها میدانهای برداری روی این فضاهای پیکربندی را که می‌توانند برای حرکت از مبدأ به مقصد، در صورت وجود بعضی از موانع، مورد استفاده قرار گیرند به صراحت مشخص می‌کنند. بردارهای این میدانهای برداری را می‌توان چنان آراست که به نقاط مشترک قطر  $\Delta$  و مرز  $(\mathbb{R}^r)$  تزدیک نشوند. در این صورت این‌تی طرح کنترلی از لحاظ تصادم قطعی است و هیچ مسیری قطر را قطع نمی‌کند (مفهوم این‌تی نظری در مقابل مفهوم این‌تی آماری است که در طرحهای کنترلی حاصل از شبیه‌سازی‌های رایانه‌ای مطرح می‌شود). به علاوه چون یک همسایگی قطر حذف می‌شود، طرح کنترلی نسبت به اختلالات سیستم پایدار خواهد بود. این موضوع خیلی مهم است، زیرا متأسفانه احتمال خرابی گام‌گاه دستگاههای مکانیکی وجود دارد. ترسیم یک میدان برداری مناسب در فضای پیکربندی روشنی عالی برای اصلاح طرح است.

کاربرد مذکور کاربرد مستقیم و زیبای اینده‌های تولوزیک و دینامیک در مسائلهای با اهمیت عملی زیاد است، و هم‌اکنون در شرایط صنعتی گوناگون متداول است.



شکل ۳ فضاهای پیکربندی  $(\bullet)$  [جب] و  $(\times)$  [است]. خطوط نقطه‌چین نشان‌دهنده تقارنی از قطر  $\Delta$  است که بر مزد  $C$  قرار دارد.

### مثال ۳. $(\times)$

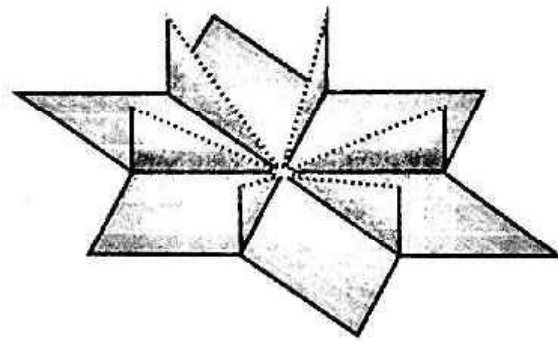
افزایش تعداد بالهای متصل به رأس مرکزی فضای پیکربندی را پیچیده‌تر می‌کند. گراف  $\times$  را که درختی شعاعی است با چهار یال که از یک رأس خارج می‌شوند، در نظر بگیرید. جسم  $(\times)$  کمی مشکل‌تر است و قادری کار لازم است تا این جسم حاصل آید. به منظور برانگیختن حس کنگکاوی خواسته، این فضای پیکربندی را در شکل ۳ آورده‌ایم [سمت راست].

۵. ساده‌سازی با استفاده از گسته‌سازی. برای مجسم کردن فضاهای پیکربندی پیچیده‌تر گرافها، کمی ساده‌سازی برای ساده‌تر کردن شکل فضای ضروری است. ما از دو روش اصلی استفاده می‌کنیم: روش اول روشی است که در آن حجره‌های «تالیعن» فضا را که نزدیک قطر  $\Delta$  قرار دارند، بر می‌داریم. روش دوم روش «درون‌پری دگردیسی»<sup>۱</sup> یعنی خرد کردن اساسی تر فضا و تبدیل آن به «کالبد»ی با بعد پایین‌تر است که در بخش ۶ درباره آن بحث خواهیم کرد.

هر گراف  $\Gamma$  به یک ساختار حجره‌ای مجهز است: «حجره‌ها (با رأسها) و اـ حجره‌ها (با بالها). حاصلضرب  $N$ -گانه  $\Gamma$  در خودش از یک ساختار حجره‌ای برخوردار می‌شود، به این صورت که هر حجره حاصلضرب  $N$ -حجره  $\Gamma$  است (که این حجره‌ها ممکن است متمایز نباشند). اما همانند مثال ۱، فضای پیکربندی یک ساختار حجره‌ای کاملاً طبیعی ندارد. زیرا قطر  $\Delta$  تمام حجره‌هایی از حجره‌های حاصلضرب را که عواملی مکرر دارند می‌شکافد. ولی توجه داشته باشید که در بعضی از مثالهای قبل، این پاره حجره‌ها در حالت تعلیقی قرار دارند که ضروری و اساسی نیست و می‌توان آنها را در کالبد اساسی‌تری از فضای پیکربندی خواهیم داشت.

این کالبد را می‌توان به صورت زیر مشخص کرد [۱]. فضای پیکربندی  $\Gamma$  را، که با  $(\Gamma)^D$  تابیت می‌دهیم و به صورت  $\Delta = (\Gamma \times \dots \times \Gamma)$  تعریف می‌کنیم در نظر بگیرید. در اینجا  $\Delta$  نشان‌دهنده مجموعه تمام حجره‌هایی از حجره‌های حاصلضرب  $\Gamma \times \dots \times \Gamma$  است که پستان آنها قطر  $\Delta$  را قطع می‌کند. به عبارت دیگر می‌توان گفت  $(\Gamma)^D$  مجموعه  $D^N(\Gamma)$  را فلسطین می‌کند. پس از این مجموعه را به صورتی که در  $R^2$  نشانده شده، در شکل ۲ رسم کردۀایم [جب]. هر یک از سه «سوراخ» متناظر با تصادم روباتها در یکی از این سه رأس است. شش یال نقطه‌چین

فرض کنیم  $\Gamma$  نشان‌دهنده گرافی باشد که سه یال دارد و بالهایش در یک رأس مرکزی به یکدیگر متصل شده‌اند. تعیین ساختار حجره‌ای  $(\Gamma)$  ساده است. گراف حاصلضرب  $\Gamma \times \Gamma$  مشکل‌تر از  $\Gamma$  مرتع با حجره دو بعدی است که به یکدیگر چسبانده شده‌اند (حجره ۲ بعدی را ۲-حجره می‌نامیم). شش حجره از این حجره‌ها با پیکربندیهای متناظرند که در آنها دو روبات روی بالهای مجزای  $\Gamma$  قرار دارند. چون سه یال در  $\Gamma$  قرار دارند، پیکربندیهای باقیمانده، که در آن هر دو روبات روی یک یال هستند، سه حجره مرتعی را بدست می‌دهند. که هر یک از آنها به وسیله قطر  $\Delta$  به یک روح از حجره‌های متناظر تقسیم می‌شود. بنابراین تعداد ۲-حجره‌های متناظر با پیکربندیهای که در آنها هر دو روبات روی یک یال ولی در مکانهای متفقون هستند، شش تاست. با در نظر گرفتن وزنگیهای هر یک از این ۲-حجره‌ها، می‌توان شناساییهای لازم را برای رسیدن به فضای داده شده در شکل ۲ انجام داد. همچنین، می‌توان از استدلالی نسبتاً قوی تر که در مرجع [۹] آمده است، استفاده کرد.



شکل ۴ فضای پیکربندی  $(\times)$  که در  $R^2$  نشانده شده است. خطوط نقطه‌چین حاکی از بالهایی است که روی قطر  $\Delta$  قرار می‌گیرند. توجه کنید که رأس مرکزی حذف می‌شود.

ترین، دو سکه را روی یک قطعه کاغذ، که یک گراف بزرگ به شکل  $\bullet$  روی آن کشیده شده است، قرار دهید به طوری که هر دو سکه روی یک یال گراف قرار گیرند. با استفاده از دو انگشت سکه‌ها را چنان حرکت دهید که بدون برخورد با هم جایشان عوض شود. مسیر این حرکت را روی شکل ۲ مشخص کنید.

### مثال ۲. $(\bullet)$

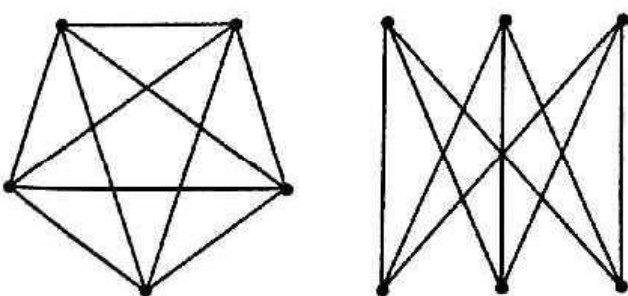
فرض کنیم  $\bullet$  نشان‌دهنده گرافی با سه یال باشد که از گراف  $\Gamma$  با چسباندن دو رأس مرزی به یکدیگر بدست آمده است. یک روش ساختن  $(\bullet)$  این است که فضای  $(\Gamma)$  را برگزینیم و از آن پیکربندیهای را برداریم که در آنها هر دو روبات روی رأسهای قرار دارند که باید به هم چسبانده شوند. سپس آن بخشهای از مرز  $(\bullet)$  را مشخص کنیم که در رأسهای از آنها که در  $\bullet$  باید به یکدیگر چسبانده شوند، یک روبات قرار دارد، و این بخشهای  $(\bullet)$  را به یکدیگر بچسبانیم. حاصل اگرچه فضای پیکربندی خیلی سدهای است تجسم آن کمی مشکل است: ما این فضا را به صورتی که در  $R^2$  نشانده شده، در شکل ۳ رسم کردۀایم [جب]. هر یک از سه «سوراخ» متناظر با تصادم روباتها در یکی از این سه رأس است. شش یال نقطه‌چین تصاویر پاره خط‌های قطری شکل ۲ هستند.

رأسهای متبايز  $\Delta$  قرار دارند)، دوازده ۱-حجره (که در آنها یک روبات در پی رأس و روبات دیگر روی یالی است که بستار آن شامل آن رأس نیست)، و صفر تا ۲-حجره دارد (زیرا هر دو یالی یکدیگر را در رأس مرکزی قطع می‌کنند). با کمی تعقی، می‌توان دریافت که  $(\Delta)$   $D^N$  خمینه‌ای همبند است که در آن هر ۰-حجره دقیقاً به دو ۱-حجره متصل است و تمام ۱-حجره‌ها انتها به انتها، به طور دوری به یکدیگر وصل شده‌اند. بنابراین  $D^N(\Delta)$  دایره‌ای توپولوژیک است که دقیقاً با حذف تمامی حجره‌های نزدیک قطر از  $(\Delta)$   $C^N$ . که تصویر آن در شکل ۲ آمده است، به دست می‌آید. عمل گسته‌سازی زیرمجموعی از  $(\Delta)$   $C^N$  را به دست می‌دهد که به نظر می‌آید تمام توپولوژی «اساسی» فضای را دربر دارد. (به عبارت دقیق‌تر نوع هموتوپی فضاهای  $(\Delta)$   $C^N$  و  $(\Delta)$   $D^N$  یکی است؛ تعریف این مفهوم را در بخش ۶ می‌توانید بینید). اما این حکم یقیناً در مورد گسته‌سازی  $(\Delta)$   $C^N$  که بر اثر آن خمینه‌ای ناهمبند حاصل می‌شود، درست نخواهد بود. در بخش ۶ معیارهایی را بیان خواهیم کرد که تحت آنها فضای حاصل از گسته‌سازی از لحاظ توپولوژیک مطابق با اصل خواهد بود.

با استفاده از استدلالهای شمارشی غالباً می‌توان فضاهای پیکربندی گسته را معین کرد، حتی وقتی که فضای پیکربندی کاملاً نامعلوم است. مثالهای شگفت‌انگیز از فضاهای جالب با گسته‌سازی فضاهای پیکربندی گرافهای ناهمنی به دست می‌آیند [۷].

#### مثال ۴. $D^N(K_5)$

گراف کامل  $K_5$  را که نمودار آن در شکل ۵ [چپ] آمده است، در نظر بگیرید. فضای پیکربندی گسته دو روبات روی این گراف مجتمعی دو بعدی است. با یک استدلال شمارشی ساده ساختار حجره‌ای آن معلوم می‌شود: ۰-حجره‌ها هر ۰-حجره با پیکربندیهای متناظر است که در آن دو روبات در رأسهای متقابل هستند. (چون  $K_5$  دارای پنج رأس است، تعداد این ۰-حجره‌ها دقیقاً برابر است با  $20 = 5 \times 4$ ). توجه کنید هیچ رأسی از  $K_5$  در محلهایی که دو یال یکدیگر را در تصویر قطع می‌کنند وجود ندارد و رأسهای گراف فقط در رأسهای پنج ضلعی قرار دارند). ۱-حجره‌ها هر ۱-حجره با پیکربندی‌ای متناظر است که در آن یک روبات در یک رأس و روبات دیگر روی یالی قرار دارد که نقاط انتهایی آن شامل

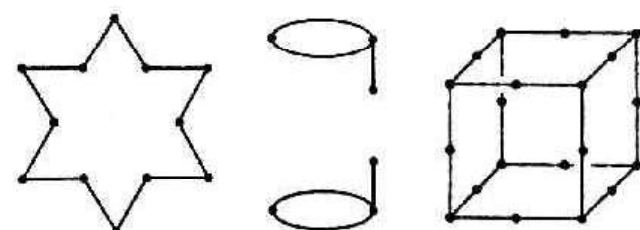


شکل ۵ گرافهای ناهمنی  $K_5$  [چپ] و  $K_{2,3}$  [راست]. این نمادگذاری مأخوذه از نظریه گراف است که در آنجا این دو گراف مثالهای اساسی از گرافهای ناهمنی هستند.

باشد. بنابراین به جای اینکه روباتها را محدود کنیم که به اندازه حداقل ۴ از یکدیگر فاصله داشته باشند (یعنی یک  $\Delta$ -همسایگی  $\Delta$  را برداریم)، می‌توانیم روباتها را روی  $\Gamma$  به این صورت محدود کنیم که «حداقل به اندازه یک یال کامل از یکدیگر فاصله داشته باشند». فضای حاصل نوعی فضای پیکربندی طبیعی در حوزه قدم زدن تصادفی روی گرافهاست [۲]. توجه داشته باشید که  $(\Gamma)$   $D^N$  زیرمجموع  $(\Gamma)$   $C^N$  است (زیرا «پاره حجره»‌هایی را که از برش در طول قطر حاصل می‌شوند در بر ندارد) و در واقع بزرگ‌ترین زیرمجموعی از  $(\Gamma)$   $C^N$  است که  $\Delta$  را قطع نمی‌کند.

با این ساختار حجره‌ای طبیعی می‌توان رأسهای  $D^N(\Gamma)$  (با ۰-حجره‌ها) را پیکربندیهایی «گسته» یا آرایشی‌ای از سکه‌های پرچسب‌گذاری شده در رأسهای گراف تلقی کرد. يالهای  $(\Gamma)$   $D^N$  یا ۱-حجره‌ها به ما می‌گوید چه پیکربندیهای گسته‌ای را می‌توان با حرکت دادن یک سکه در طول یک یال  $\Gamma$  به یکدیگر متصل کرد. هر ۲-حجره‌ای از  $D^N(\Gamma)$  دو یال مستقل (یا «جایه‌جاشونده») را نمایش می‌دهد، به این معنی که می‌توان یک زوج سکه را مستقل از یکدیگر در طول يالهای مجرأ حرکت داد. همچنین هر ۳-حجره  $(\Gamma)$   $D^N$  نمایش دهنده امکن حرکت ۳ سکه در طول ۳ یال مجرای  $\Gamma$  است.

به شکل ۲ برمی‌گردیم: با گسته‌سازی  $(\Gamma)$   $C^N$  قسم بزرگی از فضای حذف می‌شود. برای مثال حجره‌های دو بعدی مثلثی پیکربندیهایی را نمایش می‌دهند که در آنها هر دو روبات در درون یک یال قرار دارند. این حجره‌ها حذف می‌شوند. همین اندازه یک یال کامل از یکدیگر فاصله ندارند، این حجره‌ها حذف می‌شوند. همین حکم برای تمامی حجره‌های دو بعدی دیگر نیز که نمایش دهنده پیکربندیهایی هستند که در آنها روباتها در درون يالهای مجرأ قرار دارند درست است. در چه پیکربندیهایی فاصله بین روباتهای روی  $\Delta$  به اندازه یک یال کامل است؟ تعریف، نشان دهید با گسته‌سازی فضاهای پیکربندی مثالهای ۱ تا ۳، فضاهای شکل ۴ به دست می‌آید. تقریب فضاهای پیکربندی به توسط این فضاهای تا چه حد دقیق است؟ می‌توان گسته‌سازی مثال ۱ را به شیوه دیگری انجام داد که هر چند نسبت به شیوه بیش‌گفته چندان مستقیم نیست اما می‌توان آن را به چند مثال زیبا که بعداً عرضه می‌کنیم تعیین داد. یادآوری می‌کنیم که فضاهای پیکربندی گسته از ساختاری حجره‌ای برخوردارند که از  $\Gamma$  به آنها می‌رسد. تمام حجره‌هایی از حاصلضرب  $\Gamma^n$  که به طور کامل در  $C^N(\Gamma)$  نیستند با گسته‌سازی برداشته می‌شوند. به این ترتیب در مثال ۱، شمارشی ساده نشان می‌دهد که فضای  $(\Delta)$   $D^N$  دوازده ۰-حجره (که در آنها هر دو روبات در



شکل ۶ گسته‌سازی فضاهای پیکربندی مثالهای ۱ تا ۳ (از چپ به راست).

مثال ۵.  $D^1(K_{2,2})$ 

تحلیلی تقریباً مشابه در مورد گراف  $K_{2,2}$ ، که نمودار آن در شکل ۵ [راست] آمده است، نشان می‌دهد که  $D^1(K_{2,2})$  نیز روش جهت‌بندی بسته همیز است. ساختار حجره‌ای طبیعی  $D^1(K_{2,2})$  دفیقاً دارای ۳۶ وجه، ۲۶ یال و ۳۰ رأس است. بنابراین

$$\chi(D^1(K_{2,2})) = 30 - 26 + 36 = 36 - 26 + 30 = 20 \quad (2.5)$$

و در نتیجه گونای این روش چهار است.

به منظور شناخت فضاهای حاصل از گسته‌سازی فضاهای پیکربندی با ابعاد بالاتر، می‌توان صورت مناسبی از استدلال دوگانی [۱] را به کار برد، یعنی به جای اینکه بینیم چگونه روابط‌های متمایز روی  $\Gamma$  به اطراف حرکت می‌کند، پیکربندی‌های سوراخها، یعنی تابیه‌هایی از  $\Gamma$  را که هیچ روابطی روی آنها نیست، در نظر می‌گیریم. چون سوراخها بر جسب‌گذاری طبیعی شارند، می‌توان استدلال دوگانی را مستقیماً در فضای پیکربندی فاقد بر جسب‌گذاری  $V$  تعداد رأسهای  $\Gamma$  است، نتیجه می‌دهد. با این استدلالها، ادعاهای مطروحة در مثالهای زیر به اثبات می‌رسد.

## مثال ۶.

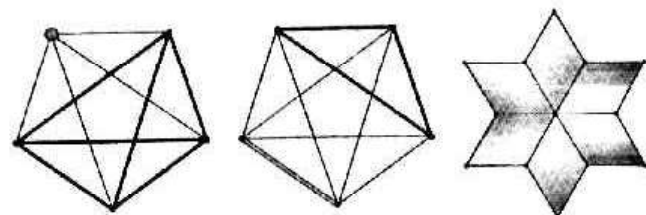
فضای  $(K_5)D^1$  با روش جهت‌بندی بسته و همبندی از گونای ۱۶ همسازیخت است.

## مثال ۷.

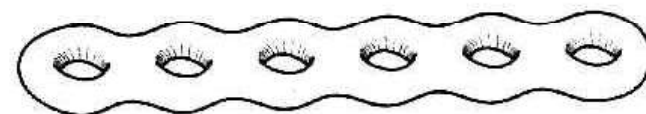
همین‌جنس فضای  $(K_{2,2})D^1$  با روش جهت‌بندی بسته و همبندی با گونای ۳۶ همسازیخت است.

۶. ساده‌سازی با استفاده از دگردیسی. به طور طبیعی این سوال مطرح می‌شود که فضاهای حاصل از گسته‌سازی فضاهای پیکربندی تا چه حد تقریب خوبی از فضاهای پیکربندی اصلی هستند. فضاهای  $C^N$  و  $D^N$  مشابه به نظر می‌رسند، زیرا  $D^N$  زیرمجموعه‌ای از  $C^N$  است که از خواباندن آن حجره‌هایی که با قطر هم‌جوار هستند در کالبد اساسی تری از فضای پیکربندی به دست می‌آید. اما فضای حاصل از گسته‌سازی ممکن است از لحاظ توپولوژیک مطابق با اصل نیاشد؛ به عنوان مثال،  $(\bullet\bullet)C^N$  همبند است در حالی که  $(\bullet\bullet)D^N$  همبند نیست. در واقع، بنابر تعریف،  $(\Gamma)D^N$  وقتی  $N$  بزرگ‌تر از تعداد رأسهای  $\Gamma$  است، یعنی وقتی که گسته‌سازی  $\Gamma$  خیلی «زمخت»<sup>۱</sup> است، مجموعه‌ای تهی است.

مفهوم مناسب برای «همسانی» در اینجا، مفهوم درونبرد دگردیسی است. می‌گوییم زیرفضای  $A$  از فضای  $X$  درونبرد دگردیسی (تقوی)  $X$  است اگر یک خانواده بیوسته از نگاشتهای بیوسته  $X \rightarrow X$  باشد،  $f_i : X \rightarrow X$  باشد و  $f_i \circ f_j = f_j \circ f_i$  باشد که  $X$  را به



شکل ۶ [جب] به ازای هر رأس از فضای  $K_5$ ، شش یال جدا از آن رأس وجود دارد. همین [وسط] به ازای هر یال، سه یال کاملاً جدا از آن یال وجود دارد. در  $(K_5)D^1$ ، این حجره‌ها در کنار یکدیگر قرار می‌گیرند و یک مجتمع دو بعدی موضع افتدگی را می‌سازد [راست].



شکل ۷ فضای  $(K_5)D^1$  با روش جهت‌بندی بسته با گونای شش همسازیخت است.

رأس مذکور نیست. با استفاده از نمودار  $K_5$  می‌توان دریافت که تعداد این ۱-حجره‌ها برابر است با  $6 \times 5 = 30$ ، چنانکه شکل ۶ [جب] حاکی از آن است. حضور عامل ۲ در حاصلضرب اخیر به این دلیل است که دو روبات را روی  $K_5$  بر جسب‌گذاری کرده‌ایم.

۲-حجره‌ها. هر ۲-حجره با پیکربندی‌ای متناظر است که در آن دو روبات بر یالهایی قرار دارند که بستار آنها جدا از هم هستند. دو باره از روی نمودار (وشکل ۶ [وسط]) می‌توان دریافت که تعداد این ۲-حجره‌ها برابر است با  $30 = 3 \times 10$ .

سبس می‌توان نشان داد که هر یال، مرز یک زوج ۲-حجره است و جهت آن در هر دو حجره یکی است، و هر رأس محل تلاقی شش یال است، همان‌طور که در شکل ۶ [راست] نشان داده شده است. به علاوه فضای  $(K_5)D^1$  همبند است، یعنی می‌توان از هر یک‌بندی به یک‌بندی دیگری رفت. بنابراین  $(K_5)D^1$  یک روش جهت‌بندی همبند است، و بنای قضیه رده‌بندی رویه‌ها، این فضای در صورت یکی گرفتن فضای های همسازیخت، به طور بکتابی توسط مشخصه اوبلر تعیین می‌شود:

$$\chi(D^1(K_5)) = (-10) - (-20) + (+20) - (+60) = 30 \quad (1.5)$$

بنابراین،  $(K_5)D^1$  روش جهت‌بندی بسته‌ای با گونای ۳۰ است (شکل ۷). اینکه تمام حرکتهای ممکن در روبات روی این گراف رویه‌ای با گونای شش بدست می‌دهد به هیچ وجه بدینه نیست. حصول خمینه کمابیش تعجب‌آور است. اما حصول خمینه‌ای با گونای بزرگ‌تر از یک با این تصور شهودی که کل توپولوژی فضا «به طور موضعی» در یک‌بندی‌های حول هر رأس دیده می‌شود، در تضاد است.

<sup>1</sup> coarse

$\Gamma = \Gamma_1 \cup \Gamma_2$ . طبق قضیه ۲، درون برد دگرگیسی ( $\Gamma_k$ ) بقیای  $C^N(\Gamma_k)$  زیر مجتمعی یک بعدی، یعنی گراف است. چون ویژگی‌های اساسی توپولوژیک گراف به وسیله مشخصه اویلر آن تعیین می‌شود، می‌توان این فضاهای را فقط با شمارش رأسها و بالهای آن رده‌بندی کرد. با استفاده از استقرای دوگانه روی  $N$  و  $k$  [۷]، می‌توان یک رابطه بازگشتی دو متغیره برای مشخصه اویلر بدست آورد. با حل این معادله می‌توان ثابت کرد که  $C^N(\Gamma_k)$  نوع هموتوپی گرافی را دارد که به مانند دستگاهی با  $P$  حلقه (یا با صلطان  $P$  طوفه) متمایز است که مثل گلبرگ‌های گل مینا به یکدیگر وصل شده‌اند، و برای آن رابطه

$$P = 1 + (Nk - 2N - k + 1) \frac{(N + k - 2)!}{(k - 1)!} \quad (1.6)$$

برقرار است. برای مثال توجه داشته باشید که  $C^1(\Gamma_2)$  دقیقاً از یک طوفه تشکیل شده است، چنانکه شکل‌های ۲ و ۴ [چپ] نیز مؤید آن است. شکل ۴ [راست] شاهد دیگری است بر صحبت این رابطه، که درست آن را در این حالت خواسته باید نشان دهد. با پرسنگذاری مجدد روابطها تقارنی از  $C^N$  (یعنی فضایی مترکنن با  $C^N$ ) بدست می‌آید. وجود این تقارنها علت رشد فاکتوریلی  $P$  برحسب  $N$  است. اگر فضاهای پیکربندی بدون پرسنگذاری درنظر گرفته شود، آنگاه جمله دوم سمت راست رابطه (۱.۶) بر  $N!$  تقسیم می‌شود. شایان توجه است که مسئله کنترل روابطها روی گراف برای ۲ روبات نسبتاً شهودی است اما با افزایش تعداد روابطها، مسئله بیش از پیش پیچیده می‌شود، زیرا افزایش بعد به تهایی سبب می‌شود تجسم پیشتر فضاهای پیکربندی تقریباً ناممکن شود. قضیه ۲، که طبق آن بعد ذاتی فضای پیکربندی مستقل از تعداد روابط‌های روی گراف است، قضیه سودمندی است. در مورد گراف  $\Gamma_2$ ، از قضیه ۲ نتیجه گرفته می‌شود که نفعهای از سیرهای یک‌بعدی وجود دارد که نمایش کاملی از فضای پیکربندی را به دست می‌دهد، یعنی تمام اطلاعات توپولوژیک را دربر دارد. چون اثبات قضیه ۲ اثبات ساختنی است، می‌توان از الگوریتم‌های متعارف تعیین کوتاهترین مسیرهای روی گراف استفاده کرد و برنامه‌ای کارا برای تعیین مسیر چند روبات روی  $\Gamma_2$  از طریق نقشه مذکور طرح کرد.

۷. نتیجه. کاربردهای فضاهای پیکربندی در مورد روابطها به هیچ وجه جدید نیستند. ایده‌های مربوط به این کاربردها را داشتمندان علوم رایانه، مهندسان و ریاضیدانان از دهه ۱۹۶۰ به بعد مطرح کرده‌اند. در مرجع [۵] شرح مقدماتی این موضوع آمده است. به علاوه، انواع گوناگونی از فضاهای پیکربندی به کرات در توپولوژی و فیزیک مطرح می‌شوند مثلاً در مطالعه گروههای تافه [۳] یا پیوندهای مجرد [۱۳]، [۱۰] یا ناوردهای خمینه‌ها [۴].

در کاربردهایی که در آنها با چند روبات مستقل مواجهیم، جنبه سراسری (یا غیرموضعی) مسئله کنترل روابط‌هایی که محدود به حرکت روی یک شبکه‌اند مشکل اصلی است. این طبیعت سراسری است که ما را به سودمندی نگاه از منظر توپولوژیک رهمنون می‌شود. در واقع تعیین فضاهای پیکربندی گرافها و

روی  $A$  بنگارد و بازاری همه  $\Gamma$ ها،  $1 \leq \Gamma \leq n$ ، هر نقطه  $A$  را ثابت نگاه دارد تصویرهای  $f_\Gamma$  را می‌توان به عنوان تک تصویرهای یک فیلم درنظر گرفت که انتقام پیوسته  $X$  و تبدیل نهایی آن به  $A$  را نشان می‌دهد. استفاده از درون برهای دگرگیسی راهی عالی برای ساده‌سازی فضا، بدون تغییر هیچ یک از خواص توپولوژیک اساسی فضاست (شاید با استثنای بعد، اما برای کاربرد فعلی، کاهش بعد فضای پیکربندی موہب است). مهم‌ترین مفهوم اساسی در هم‌ارزی توپولوژیک، یعنی نوع هموتوپی، را می‌توان برحسب درون برد دگرگیسی تعریف کرد: می‌گوییم دو فضای  $X$  و  $Y$  یک نوع هموتوپی دارند اگر و تنها اگر هر دو فضا درون برد دگرگیسی یک فضای «بزرگ‌تر» باشند. نکته اساسی این است که  $D^N(\Gamma)$  تا زمانی که گسترش از گراف  $\Gamma$  خیلی «زمخت» نباشد درون برد دگرگیسی ( $\Gamma$ )  $C^N(\Gamma)$  است. به عبارت دقیقتر قضیه ۱ [۱]. بازاری هر  $N > 1$  و هر گراف  $\Gamma$  با حداقل  $N$  رأس،  $D^N(\Gamma)$  درون برد دگرگیسی ( $\Gamma$ )  $C^N(\Gamma)$  است اگر و تنها اگر ۱. هر مسیر واصل بین رأسهای متفاوت با درجه‌های مخالف دو از حداقل  $1 - N$  باید بگذرد؛ و ۲. هر مسیر از یک رأس به خودش که ممکن نباشد با انتقام پیوسته در  $\Gamma$  به یک نقطه تبدیل شود از حداقل ۱  $+ N$  باید عبور کند. (درجه هر رأس برابر است با تعداد بالهایی که به آن رأس متصل‌اند) به این ترتیب نتیجه می‌شود فضاهای  $(K_5)C^1(K_5)$  و  $(K_{2,2})C^1(K_{2,2})$  بادردن بری، دگرگیسی می‌باشد و به فضاهای پیکربندی گسترش مثالهای ۴ و ۵ تبدیل می‌شوند. این اطلاعات بی‌اندازه مفید است زیرا به دست آوردن فضای پیکربندی  $(K_5)C^1(K_5)$  به طور مستقیم آنقدر پیچیده است که تلاش برای آن بیهوده به نظر می‌آید. توجه داشته باشید که شرط دوم قضیه ۱ برای گسترش از  $(\bullet)C^1$  برقرار نیست. اما با اضافه کردن یک رأس، فضای پیکربندی گسترش ای که از لحاظ توپولوژیک مانند فضای اصلی است به دست می‌آید. گسترش از در مثالهای ۶ و ۷ آنقدر طریف نیست که فضای حاصل از آن با فضای اصلی هم‌ارز باشد.

در عمل، بعد کوچکترین زیر مجتمعی که درون برد دگرگیسی فضای پیکربندی است کمیتی مهم است، زیرا ابعاد بزرگ، پیچیدگی کار محاسباتی لازم برای کنترل سیستم را پس از افزایش می‌دهد. قضیه زیر نشان می‌دهد که بعد ذاتی فضای پیکربندی مستقل از تعداد روابط‌های روی گراف است، و نقطه به خواص گراف بستگی دارد.

قضیه ۲ [۷]. فرض کنیم  $\Gamma$  گرافی است با  $V$  رأس که درجه هر رأس آن بزرگ‌تر از ۲ است. درون برد دگرگیسی فضای  $(\Gamma)C^N(\Gamma)$  زیر مجتمعی از  $(\Gamma)C^N$  با بعد حداقل  $V$  است.

مثال A.  $(\Gamma_k)C^N$

درخت شعاعی  $n$  شاخه  $\Gamma$  را که  $k$  را که  $k < n$  دارد، و  $n - k + 1$  رأس دارد، همه بالهای آن به یک رأس مرکزی وصل شده‌اند در نظر بگیرید. برای مثال

## مراجع

1. A. Abrams, *Configuration Spaces and Braid Groups of Graphs*. Ph. D. thesis, UC Berkeley, 2000.
2. A. Abrams, H. Landau, Z. Landau, J. Pommersheim, and E. Zaslow. Evasive random walks and the clairvoyant demon. to appear in *Random Structures & Algorithms*.
3. J. Birman, *Braids, Links, and Mapping Class Groups*, Princeton University Press, Princeton, N. J., 1974.
4. R. Bott and C. Taubes, On the self-linking of knots: topology and physics, *J. Math. Phys.* **35** (1994) 5247-5287.
5. J. Canny, *The Complexity of Robot Motion Planning*, MIT Press, Cambridge, MA, 1988.
6. G. Castleberry, *The AGV Handbook*, Braun-Brumfield, Ann Arbor, MI, 1991.
7. R. Ghrist, Configuration spaces of graphs in robotics, in *Braids, Links, and Mapping Class Groups: the Proceedings of Joan Birman's 70th Birthday*, AMS/IP Studies in Mathematics, vol. 19, 2000, pp. 31-41; ArXiv preprint math.GT/9905023.
8. R. Christ and D. Koditschek, Safe cooperative robot dynamics via dynamics on graphs, in *Proceedings of the Eighth International Symposium on Robotics Research*, Y. Nakayama, ed., Springer-Verlag, New York, 1998, pp. 81-92.
9. R. Ghrist and D. Koditschek, Safe, cooperative robot dynamics on graphs, ArXiv preprint cs.RO/0002014.
10. M. Kapovich and J. J. Millson, The symplectic geometry of polygons in Euclidean space, *J. Differential Geom.* **44** (1996) 479-513.
11. D. Koditschek and E. Rimon, Robot navigation functions on manifolds with boundary, *Adv. in Appl. Math.* **11** (1990) 412-442.
12. J. C. Latombe, *Robot Motion Planning*, Kluwer Academic Press, Boston, 1991.
13. K. Walker, *Configuration Spaces of Linkages*, Undergraduate thesis, Princeton University, 1985.

\*\*\*\*\*

- Aaron Abrams and Robert Ghrist, "Finding topology in a factory: Configuration spaces", *Amer. Math. Monthly*, (2) **109** (2002) 140-150.

\* آرون آبرامز، دانشگاه جورجیا، آمریکا

abrams@math.uga.edu

\*\* رابرت گریست، مؤسسه فناوری جورجیا، آمریکا

ghrist@math.gatech.edu

ساده‌سازی آنها می‌تواند برای ارائه طرحهای کترلی عملی مورد استفاده قرار گیرد. برای ملاحظه چند مثال ساده مراجع [۸] و [۹] را ببینید.

از طرف دیگر، قابل توجه است که رده غنی فضاهای توبولوژیکی که در این مقاله معرفی کردیم عملاً مورد توجه واقع نشده بود تا اینکه مسائلی از دیگر حوزه‌ها باعث طرح این فضاهای شد. این فضاهای خواص عمیق‌تر زیادی دارند:

۱. بهارای هر گراف  $\Gamma$ ، فضای  $C^N(\Gamma)$  فضای آلبنرگ‌نمکالین از نوع  $K(\pi, 1)$  است. یعنی تصویر هر نگاشت بیوستای را که نگاشتی از یک کره بعدی  $S^k$  باشد می‌توان در  $C^N(\Gamma)$  باشند. به طور بیوسته متضمن کرد تا به یک نقطه تبدیل شود. چنین فضای را گاه «ناکروی»<sup>۱</sup> می‌نامند.

۲. فضای پیکربندی گسته ساختاری طبیعی دارد که ساختار مجتمع حجره‌مکعبی است (مجتمعی مرکب از حجره‌های مکعب‌گون)، زیرا تمام حجره‌های آن حاصل ضرب بازه‌ها هستند. در نتیجه می‌توان از الگوریتمهای سریعی که اخیراً در مباحث مانستگی محاسباتی پیدا شده‌اند برای تعیین گروههای مانستگی و مولدهای آنها، در مسائل عملی استفاده کرد.

۳. با استفاده از اینکه ساختار  $D^N(\Gamma)$ ، ساختار مجتمع حجره‌مکعبی است، می‌توان نشان داد  $C^N(\Gamma)$  فضایی با خمیدگی نامبت است، به این معنا که یک تابع متريک وجود دارد (با تعریف مناسب در نقاط غیرخمینه‌ای) که خمیدگی آن در هیچ نقطه‌ای مشت بست.

۴. گروه بنیادی  $C^N(\Gamma)$  همواره بدون عنصر تاب است. به عبارت دیگر، اگر ممکن باشد که طوفه مفروضی در  $C^N(\Gamma)$  با انتباخت به یک نقطه تبدیل شود، آنگاه هیچ مضری بی‌آن طوفه نیز ممکن نیست با انتباخت به یک نقطه تبدیل شود. این خاصیت برای فضاهای پیکربندی  $\mathbb{R}^n$  نیز درست است، اما برای  $(S^1)^N$  یعنی فضای حرکات روباتها روی یک کره دو بعدی، درست نیست.

۵. «مسئله واژه» در گروه بنیادی  $C^N(\Gamma)$  همیشه حل پذیر است، به این معنا که الگوریتمی وجود دارد که با استفاده از آن می‌توان تعیین کرد که آیا ممکن است طوفه مفروضی در  $C^N(\Gamma)$  با انتباخت به یک نقطه از  $C^N(\Gamma)$  تبدیل شود یا نه.

۶. گروه بنیادی  $C^N(\Gamma)$  مجهز به ساختار جبری گراف گروهها روی گراف  $\Gamma$  است. این ساختار را می‌توان با «درهم آمیختن» (یا به طور جبری به هم جسباندن) اعضای یک خانواده از گروههای ساده‌تر، طبق الگویی که توسط  $\Gamma$  معنی شود، بدست آورد.

مثالهای ارائه شده در اینجا بسیاری از ویژگیهای نامشهود فضاهای توبولوژیک و گروههای بنیادی آنها را به روشنی نشان می‌دهند. حتی با استفاده از آنها می‌توان برای دانش آموزان دبیرستانی به آسانی توضیح داد که فضای پیکربندی روباتها چیست (هر دو نویسنده این مقاله این کار را چندین بار با موفقیت انجام داده‌اند). با کمی اطلاعات مقدماتی، می‌توان اثبات این موضوع را که فضای پیکربندی دو روبات روی  $K_5$  رویهای باگونای نش است، به آسانی دریافت. این مثال نمونه بسیار خوبی است از توبولوژی نابدیهی نهفته در دل بسیاری از محیطهای جهان واقعی.

<sup>1</sup> aspherical